

**TUGAS AKHIR**

**PERBANDINGAN FREKUENSI ALAMI KOLOM BETON  
BERTULANG DAN KOLOM KOMPOSIT DENGAN  
*SOFTWARE ABAQUS***



**Disusun oleh:**

**Dyah Ajeng Wijayanti**

**20190110247**

**PROGRAM STUDI TEKNIK SIPIL  
FAKULTAS TEKNIK  
UNIVERSITAS MUHAMMADIYAH YOGYAKARTA  
2022**

**TUGAS AKHIR**

**PERBANDINGAN FREKUENSI ALAMI KOLOM BETON  
BERTULANG DAN KOLOM KOMPOSIT DENGAN  
*SOFTWARE ABAQUS***

Diajukan guna melengkapi persyaratan untuk memenuhi gelar Sarjana Teknik  
di Program Studi Teknik Sipil, Fakultas Teknik,  
Universitas Muhammadiyah Yogyakarta



**Dyah Ajeng Wijayanti**  
**20190110247**

**PROGRAM STUDI TEKNIK SIPIL**  
**FAKULTAS TEKNIK**  
**UNIVERSITAS MUHAMMADIYAH YOGYAKARTA**  
**2020**

## HALAMAN PERNYATAAN

Saya yang bertanda tangan di bawah ini:

Nama : Dyah Ajeng Wijayanti  
NIM : 20190110247  
Judul : Perbandingan Frekuensi Alami Kolom Beton Bertulang  
dan Kolom Komposit dengan *Software ABAQUS*

Menyatakan dengan sebenarnya bahwa Tugas Akhir ini merupakan karya saya sendiri. Apabila terdapat karya orang lain yang saya kutip, maka saya akan mencantumkan sumber secara jelas. Jika dikemudian hari ditemukan ketidakbenaran dalam pernyataan ini, maka saya bersedia menerima sanksi dengan aturan yang berlaku. Demikian pernyataan ini saya buat tanpa ada paksaan dari pihak mana pun.

Yogyakarta, 29 Juli ..... 2023

Yang membuat pernyataan



## **HALAMAN PERNYATAAN**

Saya yang bertanda tangan di bawah ini:

Nama : Dyah Ajeng Wijayanti

NIM : 20190110247

Judul : Perbandingan Frekuensi Alami Kolom Beton Bertulang dan  
Kolom Komposit dengan *Software ABAQUS*

Menyatakan bahwa tugas akhir ini merupakan bagian dari penelitian payung  
dosen pembimbing yang berjudul .....  
dan didanai melalui skema hibah .....  
pada tahun 20..... oleh .....

Tahun Anggaran 20..... dengan nomor hibah .....

Yogyakarta, ..... 2023

Penulis,

Dosen Peneliti,

Dyah Ajeng Wijayanti .....

Dosen Anggota Peneliti 1,

.....

Dosen Anggota Peneliti 2,

.....

## HALAMAN PERSEMBAHAN

*Alhamdulillahirabbil'alamin.* Saya berterima kasih kepada Allah SWT yang telah mewujudkan harapan saya untuk menyelesaikan tugas akhir ini serta memberi saya kekuatan dalam melewati ujian-ujian yang diberikan-Nya. Tugas akhir ini saya persembahkan untuk kedua orang tua saya dan saudara-saudara saya, dan seluruh keluarga saya. Saya berharap tugas akhir ini dapat bermanfaat bagi banyak orang dan negara.

Saya mengucapkan terima kasih kepada Almarhumah Ibu saya yang telah menemani saya melalui masa-masa sulit saat kuliah. Meskipun Ibu pergi sebelum saya dapat menyelesaikan kuliah saya, saya tetap bersyukur saya dapat menghabiskan waktu-waktu saya bersama Ibu. Semoga Ibu tenang di sisi-Nya. *Aamiin yaa rabbal'alamin.*

Saya mengucapkan terima kasih kepada kakak saya, Mas Yuli, yang telah memberi saya kesempatan untuk melaksanakan kuliah di Universitas Muhammadiyah Yogyakarta. Semoga kebaikan Mas Yuli dibalas oleh Allah SWT berkali-kali lipat. *Aamiin yaa rabbal'alamin.*

Saya mengucapkan terima kasih kepada dosen pembimbing dan dosen penguji saya, Bapak Guntur dan Ibu Restu, yang telah membantu saya dalam menyelesaikan tugas akhir ini. Semoga kebaikan Bapak dan Ibu Dosen dibalas oleh Allah SWT. *Aamiin yaa rabbal'alamin.*

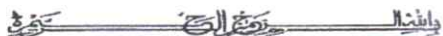
Saya mengucapkan terima kasih kepada teman-teman dan berbagai pihak yang telah membantu saya menyelesaikan tugas akhir ini. Saya mengucapkan terima kasih kepada Pak Fau yang sudah membantu saya dalam menganalisis struktur dan menganalisis kolom komposit serta memberi informasi-informasi yang berguna dalam perencanaan struktur.

Penulis, 21 Juli 2023



Nyah Ajeng Wijayanti

## PRAKATA



*Assalamu'alaikum warahmatullahi wabarakatuh*

Segala puji bagi Allah SWT yang menguasai segala sesuatu. Sholawat dan salam selalu tercurahkan kepada Rasulullah SAW beserta keluarga dan sahabat-sahabatnya.

Tugas akhir ini disusun sebagai salah satu syarat untuk memperoleh gelar Sarjana Teknik pada Program Studi Teknik Sipil, Fakultas Teknik, Universitas Muhammadiyah Yogyakarta. Penelitian ini bertujuan untuk menganalisis nilai frekuensi alami kolom beton bertulang terhadap variasi beban aksial tekan, menganalisis nilai frekuensi alami kolom komposit terhadap variasi beban aksial tekan, dan membandingkan frekuensi alami kolom beton bertulang dan kolom komposit.

Selama penyusunan tugas akhir ini, banyak rintangan yang penyusun dapatkan, tetapi berkat bantuan, bimbingan, dan dorongan dari berbagai pihak akhirnya dapat terselesaikan dengan baik. Melalui kesempatan ini, penyusun ingin menyampaikan rasa terima kasih atas kerja sama dan dukungan dari berbagai pihak selama proses penelitian hingga penyusunan tugas akhir ini kepada:

1. Puji Harsanto, ST, MT, Ph.D,
2. Dr. Ir. Guntur Nugroho, S.T., M.Eng,
3. Dr. Ir. Restu Faizah, S.T., M.T.

Akhirnya, setelah segala kemampuan dicurahkan serta diiringi dengan doa untuk menyelesaikan tugas akhir ini hanya kepada Allah SWT semua dikembalikan.

*Wallahu a'lam bi Showab.*

*Wassalamu'alaikum warahmatullahi wabarakatuh.*

Yogyakarta, 29 Juli 2028

  
Penyusun

## DAFTAR ISI

|   |       |
|---|-------|
| .....   | iii   |
| LEMBAR PENGESAHAN TUGAS AKHIR .....               | iii   |
| HALAMAN PERNYATAAN .....                          | iv    |
| HALAMAN PERNYATAAN .....                          | v     |
| HALAMAN PERSEMPAHAN.....                          | vi    |
| PRAKATA .....                                     | vii   |
| DAFTAR ISI.....                                   | viii  |
| DAFTAR TABEL.....                                 | x     |
| DAFTAR GAMBAR .....                               | xii   |
| DAFTAR LAMPIRAN.....                              | xviii |
| DAFTAR SIMBOL DAN LAMBANG.....                    | xix   |
| DAFTAR SINGKATAN .....                            | xxiii |
| DAFTAR ISTILAH .....                              | xxiv  |
| ABSTRAK .....                                     | xxv   |
| <i>ABSTRACT</i> .....                             | xxvi  |
| BAB I. PENDAHULUAN .....                          | 1     |
| 1.1 Latar Belakang.....                           | 1     |
| 1.2 Rumusan Masalah.....                          | 2     |
| 1.3 Lingkup Penelitian.....                       | 3     |
| 1.4 Tujuan Penelitian.....                        | 4     |
| 1.5 Manfaat Penelitian .....                      | 4     |
| BAB II. TINJAUAN PUSTAKA DAN LANDASAN TEORI ..... | 5     |
| 2.1 Tinjauan Pustaka.....                         | 5     |
| 2.2 Dasar Teori .....                             | 23    |
| 2.2.1 Definisi kolom dan kolom komposit.....      | 23    |
| 2.2.2 Perencanaan kolom komposit .....            | 24    |
| 2.2.3 Perencanaan kolom beton bertulang .....     | 31    |
| 2.2.4 Getaran .....                               | 37    |
| 2.2.5 Frekuensi alami .....                       | 39    |
| 2.2.6 Metode elemen hingga .....                  | 40    |
| 2.2.7 Program <i>ABAQUS</i> .....                 | 42    |
| BAB III. METODE PENELITIAN.....                   | 43    |
| 3.1 Bahan atau Materi.....                        | 43    |

|     |  |     |
|-----|--|-----|
| 3.2 | Alat .....   | 47  |
| 3.3 | Tempat dan Waktu Penelitian.....   | 48  |
| 3.4 | Tahapan Penelitian.....  | 48  |
|     | 3.4.1 Studi literatur .....  | 48  |
|     | 3.4.2 Penelitian tahap I .....   | 48  |
|     | 3.4.3 Penelitian tahap II.....   | 77  |
|     | BAB IV. HASIL PENELITIAN DAN PEMBAHASAN .....                                  | 124 |
| 4.1 | Frekuensi Alami Kolom Beton.....   | 124 |
| 4.2 | Frekuensi Alami Kolom Beton Bertulang .....                                    | 127 |
| 4.3 | Frekuensi Alami Kolom Komposit CES .....                                       | 130 |
| 4.4 | Perbandingan Frekuensi Alami Kolom Beton Bertulang dan Kolom Komposit CES..... | 133 |
|     | BAB V. KESIMPULAN DAN SARAN.....   | 139 |
| 5.1 | Kesimpulan.....  | 139 |
| 5.2 | Saran .....  | 139 |
|     | DAFTAR PUSTAKA .....   | 141 |
|     | LAMPIRAN .....   | 145 |

## DAFTAR TABEL

|   |    |
|---|----|
| Tabel 2.1 Perbandingan hasil tes Jang dengan simulasi (Gan, et al., 2019) .....                         | 12 |
| Tabel 2.2 Perbandingan frekuensi alami sebelum dan sesudah keruntuhan (Nasery, et al., 2020).....       | 15 |
| Tabel 2.3 Frekuensi alami dari sistem balok-ganda di bawah beban aksial tekan (Zhao, et al., 2020)..... | 16 |
| Tabel 2.4 Perbedaan dan persamaan penelitian terdahulu dan sekarang .....                               | 17 |
| Tabel 2.5 Nilai k (Stokey, 1998).....   | 40 |
| Tabel 3.1 Data kolom komposit.....  | 43 |
| Tabel 3.2 Data balok yang digunakan.....  | 43 |
| Tabel 3.3 Gaya dalam aksial-lentur kolom .....  | 44 |
| Tabel 3.4 Gaya dalam geser kolom.....   | 44 |
| Tabel 3.5 Gaya dalam tekan kolom.....   | 44 |
| Tabel 3.6 Gaya dalam dan lendutan maksimum dari <i>output ETABS</i> balok .....                         | 44 |
| Tabel 3.7 Parameter plastisitas beton 30 MPa (Hafezolghorani, et al., 2017).....                        | 44 |
| Tabel 3.8 Nilai tegangan-regangan baja fy 250 MPa (Casita, et al., 2020) .....                          | 45 |
| Tabel 3.9 Nilai <i>true stress-strain</i> baja fy 420 MPa (Ismail, et al., 2017) .....                  | 45 |
| Tabel 3.10 <i>Concrete tensile behavior</i> beton 30 MPa (Hafezolghorani, et al., 2017) .....           | 45 |
| Tabel 3.11 <i>Concrete tension damage</i> beton 30 MPa (Hafezolghorani, et al., 2017) .....             | 45 |
| Tabel 3.12 <i>Concrete compressive behaviour</i> beton 30 MPa (Hafezolghorani, et al., 2017) .....      | 46 |
| Tabel 3.13 <i>Concrete compression damage</i> beton 30 MPa (Hafezolghorani, et al., 2017) .....         | 46 |
| Tabel 3.14 Referensi yang digunakan.....  | 48 |
| Tabel 3.17 Properti profil baja .....   | 51 |
| Tabel 3.18 Properti material beton.....   | 52 |
| Tabel 3.19 Properti tulangan .....  | 52 |
| Tabel 3.20 Momen inersia tulangan baja (Isr) terhadap sumbu x.....                                      | 54 |
| Tabel 3.21 Kesimpulan analisis kolom komposit CES .....   | 62 |

|  |     |
|--|-----|
| Tabel 3.22 Properti material dan penampang kolom beton bertulang .....   | 62  |
| Tabel 3.23 Kesimpulan desain kolom beton bertulang.....  | 77  |
| Tabel 3.24 Satuan konstan .....  | 77  |
| Tabel 3.25 Uji konvergensi kolom komposit CES .....  | 92  |
| Tabel 3.26 Uji konvergensi kolom beton bertulang.....  | 113 |
| Tabel 4.1 Hasil analisis numerik frekuensi alami kolom beton menggunakan<br><i>Software ABAQUS</i> (Hz) .....                                    | 124 |
| Tabel 4.2 Hasil perhitungan analitik frekuensi alami kolom beton dengan<br>persamaan Stokey, 1998 (Hz) .....                                     | 125 |
| Tabel 4.3 Perbandingan selisih antara frekuensi alami hasil analisis numerik dan<br>frekuensi alami hasil perhitungan analitik kolom beton ..... | 125 |
| Tabel 4.4 Hasil analisis numerik frekuensi alami kolom beton bertulang (Hz)..  | 128 |
| Tabel 4.5 Hasil analisis numerik frekuensi alami kolom komposit CES arah Z<br>(Hz) .....   | 131 |
| Tabel 4.6 Hasil analisis numerik frekuensi alami kolom komposit CES arah X<br>(Hz) .....   | 131 |
| Tabel 4.7 Perbandingan frekuensi alami <i>mode</i> 1 (Hz).....   | 133 |
| Tabel 4.8 Perbandingan frekuensi alami <i>mode</i> 2 (Hz).....   | 133 |
| Tabel 4.9 Perbandingan frekuensi alami <i>mode</i> 3 (Hz).....   | 134 |
| Tabel 4.10 Perbandingan frekuensi alami <i>mode</i> 4 (Hz).....  | 134 |

## DAFTAR GAMBAR

|   |    |
|---|----|
| Gambar 2.1 Grafik perbandingan rasio kapasitas baja dan komposit (Meillyta dan Vuardi, 2019) .....  | 5  |
| Gambar 2.2 Grafik beban-tegangan material beton (Casita, et al., 2020).....   | 6  |
| Gambar 2.3 Grafik beban-tegangan material baja (Casita, et al., 2020).....  | 6  |
| Gambar 2.4 Grafik deformasi-beban kolom RCFT dan CCFT (Casita, et al., 2020) .....  | 7  |
| Gambar 2.5 Geometri kolom komposit (Rath, et al., 2022).....  | 8  |
| Gambar 2.6 Pengaruh rasio L/D dan rasio e/D terhadap <i>displacement</i> dan kapasitas beban aksial kolom untuk rasio profil baja 44% (Rath, et al., 2022) .....  | 8  |
| Gambar 2.7 Pengaruh rasio profil baja dan rasio L/D terhadap momen lentur maksimal kolom pada rasio e/D = 0,3 (Rath, et al., 2022).....   | 8  |
| Gambar 2.8 Pengaruh geometrik kolom terhadap <i>second order moment</i> (Rath, et al., 2022).....   | 9  |
| Gambar 2.9 Grafik perbandingan frekuensi alami mode pertama (Nugroho, 2018) .....   | 10 |
| Gambar 2.10 Objek penelitian balok non prismatis (Al-Ansari, et al., 2018) .....  | 11 |
| Gambar 2.11 Contoh grafik perbandingan frekuensi alami hasil metode CRM, MRM, dan ANSYS pada balok non prismatic ( <i>tapered beam</i> ) dengan 6 segmen dan lebar kecil balok 0,1 meter (Al-Ansari, et al., 2018)..... | 11 |
| Gambar 2.12 Perbandingan hasil test Jang dengan simulasi (Gan, et al., 2019) ..   | 12 |
| Gambar 2.13 Efek gaya tekan pada beban tekuk (Waddar, et al., 2019) .....   | 13 |
| Gambar 2.14 Efek gaya tekan aksial pada frekuensi alami <i>mode 1</i> (Waddar, et al., 2019) .....  | 13 |
| Gambar 2.15 Efek gaya tekan aksial pada frekuensi alami <i>mode 2</i> (Waddar, et al., 2019) .....  | 14 |
| Gambar 2.16 Efek gaya tekan aksial pada frekuensi alami <i>mode 3</i> (Waddar, et al., 2019) .....  | 14 |
| Gambar 2.17 Kolom komposit CES.....   | 23 |
| Gambar 2.18 Kolom CFST .....  | 23 |
| Gambar 2.19 Grafik nomogram faktor panjang efektif (McGraw-Hill, 2023) ....   | 27 |

|  |    |
|--|----|
| Gambar 2.20 Diagram interaksi kolom (Setiawan, 2008).....                                  | 33 |
| Gambar 2.21 Hubungan waktu, frekuensi, dan amplitudo (Oulmane, et al., 2013) .....         | 38 |
| Gambar 2.22 <i>Mode</i> getar (Irjayanto, 2015).....                                       | 38 |
| Gambar 2.23 Distribusi tegangan pada lempengan yang ditarik (Erinofiardi, 2012) .....      | 41 |
| Gambar 2.24 Konsep analisis dengan metode elemen hingga (Erinofiardi, 2012)                | 41 |
| Gambar 3.1 <i>Flowchart</i> penelitian .....   | 49 |
| Gambar 3.3 Grafik nomogram faktor panjang efektif yang digunakan (McGraw-Hill, 2023) ..... | 55 |
| Gambar 3.4 Sketsa gaya yang bekerja pada penampang kolom sumbu x .....                     | 58 |
| Gambar 3.5 Sketsa gaya yang bekerja pada penampang kolom sumbu y .....                     | 60 |
| Gambar 3.6 Kotak dialog <i>General Information</i> .....                                   | 64 |
| Gambar 3.7 Kotak dialog <i>Material Properties</i> .....                                   | 64 |
| Gambar 3.8 Kotak dialog <i>Reinforcement</i> .....   | 65 |
| Gambar 3.9 Kotak dialog <i>Rectangular Section</i> .....                                   | 65 |
| Gambar 3.10 Kotak dialog <i>All Sides Equal</i> .....                                      | 66 |
| Gambar 3.11 Kotak dialog <i>Factored Loads</i> .....                                       | 66 |
| Gambar 3.12 Diagram interaksi kolom pada kondisi $P_{min}$ .....                           | 67 |
| Gambar 3.13 Diagram interaksi kolom pada kondisi $P_{max}$ .....                           | 67 |
| Gambar 3.14 Diagram interaksi kolom pada kondisi $M_{2\ min}$ dan $M_{2\ max}$ .....       | 67 |
| Gambar 3.15 Diagram interaksi kolom pada kondisi $M_{3\ min}$ dan $M_{3\ max}$ .....       | 68 |
| Gambar 3.16 Sketsa model kolom komposit CES dan kolom beton bertulang....                  | 78 |
| Gambar 3.17 <i>Viewport ABAQUS CAE</i> .....   | 79 |
| Gambar 3.18 Kotak dialog <i>Create Part</i> .....  | 80 |
| Gambar 3.19 Kotak dialog <i>Edit Base Extrusion</i> .....                                  | 80 |
| Gambar 3.20 <i>Sketch part</i> beton.....  | 81 |
| Gambar 3.21 <i>Sketch part</i> tulangan utama .....  | 81 |
| Gambar 3.22 <i>Sketch part</i> sengkang.....   | 82 |
| Gambar 3.23 Dimensi profil baja H300x300x10x15 .....                                       | 82 |
| Gambar 3.24 <i>Sketch part</i> profil baja H300x300x10x15 .....                            | 83 |
| Gambar 3.25 Pengisian berat jenis material beton.....                                      | 83 |

|  |    |
|--|----|
| Gambar 3.26 Pengisian parameter elastisitas beton.....                                     | 84 |
| Gambar 3.27 Pengisian parameter plastisitas.....   | 84 |
| Gambar 3.28 Pengisian data <i>compressive behavior</i> beton 30 MPa .....                  | 85 |
| Gambar 3.29 Pengisian data <i>compression damage</i> beton 30 MPa .....                    | 85 |
| Gambar 3.30 Pengisian data <i>tensile behavior</i> beton 30 MPa.....                       | 85 |
| Gambar 3.31 Pengisian data <i>tension damage</i> beton 30 MPa.....                         | 86 |
| Gambar 3.32 Pengisian berat jenis material baja A615Gr60.....                              | 86 |
| Gambar 3.33 Pengisian parameter elastisitas baja A615Gr60.....                             | 87 |
| Gambar 3.34 Pengisian parameter plastisitas baja A615Gr60.....                             | 87 |
| Gambar 3.35 Pengisian berat jenis material baja A36.....                                   | 88 |
| Gambar 3.36 Pengisian parameter elastisitas baja A36 .....                                 | 88 |
| Gambar 3.37 Pengisian parameter plastisitas baja A36 .....                                 | 88 |
| Gambar 3.38 Kotak dialog <i>Create Section</i> .....                                       | 89 |
| Gambar 3.39 Kotak dialog <i>Edit Section</i> beton.....                                    | 89 |
| Gambar 3.40 Kotak dialog <i>Edit Section</i> tulangan longitudinal.....                    | 90 |
| Gambar 3.41 Kotak dialog <i>Edit Section</i> tulangan sengkang.....                        | 90 |
| Gambar 3.42 Kotak dialog <i>Edit Section</i> profil baja .....                             | 90 |
| Gambar 3.43 Kotak dialog <i>Edit Section Assignment</i> beton .....                        | 91 |
| Gambar 3.44 Kotak dialog <i>Edit Section Assignment</i> tulangan longitudinal .....        | 91 |
| Gambar 3.45 Kotak dialog <i>Edit Section Assignment</i> Sengkang .....                     | 91 |
| Gambar 3.46 Kotak dialog <i>Edit Section Assignment</i> profil baja.....                   | 91 |
| Gambar 3.47 Uji konvergensi kolom komposit CES.....  | 92 |
| Gambar 3.50 Kotak dialog <i>Global Seeds</i> .....   | 93 |
| Gambar 3.51 Kotak dialog <i>Element Type part</i> beton dan profil baja .....              | 94 |
| Gambar 3.52 Kotak dialog <i>Element Type part</i> tulangan longitudinal dan sengkang ..... | 94 |
| Gambar 3.53 Tampilan <i>part</i> beton yang telah di- <i>mesh</i> .....                    | 94 |
| Gambar 3.54 Tampilan <i>part</i> tulangan longitudinal yang telah di- <i>mesh</i> .....    | 95 |
| Gambar 3.55 Tampilan <i>part</i> sengkang yang telah di- <i>mesh</i> .....                 | 95 |
| Gambar 3.56 Tampilan <i>part</i> profil baja yang telah di- <i>mesh</i> .....              | 95 |
| Gambar 3.57 Kotak dialog <i>Verify Mesh</i> .....  | 96 |
| Gambar 3.58 Tampilan <i>instance</i> yang telah dibuat.....                                | 96 |

|   |     |
|---|-----|
| Gambar 3.59 Kotak dialog <i>Edit Step</i> dari “step-gaya aksial” .....     | 97  |
| Gambar 3.60 Kotak dialog <i>Edit Step</i> dari “step-frekuensi alami” ..... | 98  |
| Gambar 3.61 Tampilan model pada Modul <i>Interaction</i> .....              | 98  |
| Gambar 3.62 Kotak dialog <i>Create Load</i> .....                           | 99  |
| Gambar 3.63 Tampilan model dengan gaya aksial .....                         | 99  |
| Gambar 3.64 Kotak dialog <i>Create Boundary Condition</i> .....             | 100 |
| Gambar 3.65 Kotak dialog <i>Edit Boundary Condition</i> .....               | 100 |
| Gambar 3.66 Model dengan perletakan .....                                   | 101 |
| Gambar 3.67 Kotak dialog <i>Edit Job</i> .....                              | 101 |
| Gambar 3.68 Tampilan <i>mode shape</i> 1 kolom komposit CES .....           | 102 |
| Gambar 3.69 Tampilan <i>mode shape</i> 2 kolom komposit CES .....           | 102 |
| Gambar 3.70 Tampilan <i>mode shape</i> 3 kolom komposit CES .....           | 102 |
| Gambar 3.71 <i>Viewport ABAQUS CAE</i> .....                                | 103 |
| Gambar 3.72 Kotak dialog <i>Create Part</i> .....                           | 104 |
| Gambar 3.73 Kotak dialog <i>Edit Base Extrusion</i> .....                   | 104 |
| Gambar 3.74 <i>Sketch part</i> beton.....                                   | 105 |
| Gambar 3.75 <i>Sketch</i> tulangan longitudinal .....                       | 105 |
| Gambar 3.76 <i>Sketch</i> sengkang .....                                    | 106 |
| Gambar 3.77 Pengisian berat jenis material beton.....                       | 107 |
| Gambar 3.78 Pengisian parameter elastisitas beton.....                      | 107 |
| Gambar 3.79 Pengisian parameter plastisitas beton.....                      | 107 |
| Gambar 3.80 Pengisian data <i>compressive behavior</i> beton 30 MPa .....   | 108 |
| Gambar 3.81 Pengisian data <i>compression damage</i> beton 30 MPa .....     | 108 |
| Gambar 3.82 Pengisian data <i>tensile behavior</i> beton 30 MPa.....        | 109 |
| Gambar 3.83 Pengisian data <i>tension damage</i> beton 30 MPa.....          | 109 |
| Gambar 3.84 Pengisian berat jenis material baja A615Gr60.....               | 110 |
| Gambar 3.85 Pengisian parameter elastisitas baja A615Gr60.....              | 110 |
| Gambar 3.86 Pengisian parameter plastisitas baja A615Gr60.....              | 110 |
| Gambar 3.87 Kotak dialog <i>Create Section</i> .....                        | 111 |
| Gambar 3.88 Kotak dialog <i>Edit Section</i> beton.....                     | 111 |
| Gambar 3.89 Kotak dialog <i>Edit Section</i> tulangan longitudinal.....     | 112 |
| Gambar 3.90 Kotak dialog <i>Edit Section</i> sengkang.....                  | 112 |

|  |     |
|--|-----|
| Gambar 3.91 Kotak dialog <i>Edit Section Assignment</i> beton .....  | 112 |
| Gambar 3.92 Kotak dialog <i>Edit Section Assignment</i> tulangan longitudinal .....  | 112 |
| Gambar 3.93 Kotak dialog <i>Edit Section Assignment</i> sengkang .....   | 113 |
| Gambar 3.94 Uji konvergensi kolom beton bertulang <i>mode 1</i> .....  | 114 |
| Gambar 3.97 Kotak dialog <i>Global Seeds</i> .....   | 115 |
| Gambar 3.98 Kotak dialog <i>Element Type part</i> beton.....   | 115 |
| Gambar 3.99 Kotak dialog <i>Element Type part</i> tulangan longitudinal dan sengkang .....                                 | 115 |
| Gambar 3.100 Tampilan <i>part</i> beton yang telah di- <i>mesh</i> .....   | 116 |
| Gambar 3.101 Tampilan <i>part</i> tulangan longitudinal yang telah di- <i>mesh</i> .....                                   | 116 |
| Gambar 3.102 Tampilan <i>part</i> sengkang yang telah di- <i>mesh</i> .....  | 116 |
| Gambar 3.103 Kotak dialog <i>Verify Mesh</i> .....   | 117 |
| Gambar 3.104 Tampilan <i>instance</i> yang telah dibuat.....   | 117 |
| Gambar 3.105. Kotak dialog <i>Edit Step</i> dari “step-gaya aksial” .....  | 118 |
| Gambar 3.106 Kotak dialog <i>Edit Step</i> dari “step-frekuensi alami” .....   | 119 |
| Gambar 3.107 Tampilan model pada modul <i>Interaction</i> .....  | 119 |
| Gambar 3.108 Kotak dialog <i>Create Load</i> .....   | 120 |
| Gambar 3.109 Tampilan model dengan gaya aksial .....   | 120 |
| Gambar 3.110 Kotak dialog <i>Create Boundary Condition</i> .....   | 121 |
| Gambar 3.111 Kotak dialog <i>Edit Boundary Condition</i> .....   | 121 |
| Gambar 3.112 Model dengan perletakan .....   | 122 |
| Gambar 3.113 Kotak dialog <i>Edit Job</i> .....  | 122 |
| Gambar 3.114 Tampilan <i>mode shape 1</i> kolom beton bertulang .....  | 123 |
| Gambar 3.115 Tampilan <i>mode shape 2</i> kolom beton bertulang .....  | 123 |
| Gambar 3.116 Tampilan <i>mode shape 3</i> kolom beton bertulang .....  | 123 |
| Gambar 4.1 Grafik perbandingan frekuensi alami <i>software ABAQUS</i> dan persamaan Stokey (1998) pada <i>mode 1</i> ..... | 126 |
| Gambar 4.2 Grafik perbandingan frekuensi alami <i>software ABAQUS</i> dan persamaan Stokey (1998) pada <i>mode 2</i> ..... | 126 |
| Gambar 4.3 Grafik perbandingan frekuensi alami <i>software ABAQUS</i> dan persamaan Stokey (1998) pada <i>mode 3</i> ..... | 127 |

|  |     |
|--|-----|
| Gambar 4.4 Grafik perbandingan frekuensi alami <i>software ABAQUS</i> dan persamaan Stokey (1998) pada <i>mode 4</i> ..... | 127 |
| Gambar 4.5 Grafik hubungan frekuensi alami <i>mode 1</i> kolom beton bertulang dengan variasi gaya tekan aksial .....      | 128 |
| Gambar 4.6 Grafik hubungan frekuensi alami <i>mode 2</i> kolom beton bertulang dengan variasi gaya tekan aksial .....      | 129 |
| Gambar 4.7 Grafik hubungan frekuensi alami <i>mode 3</i> kolom beton bertulang dengan variasi gaya tekan aksial .....      | 129 |
| Gambar 4.8 Grafik hubungan frekuensi alami <i>mode 4</i> kolom beton bertulang dengan variasi gaya tekan aksial .....      | 130 |
| Gambar 4.9 Grafik hubungan frekuensi alami <i>mode 1</i> kolom komposit CES dengan variasi gaya tekan aksial .....         | 131 |
| Gambar 4.10 Grafik hubungan frekuensi alami <i>mode 2</i> kolom komposit CES dengan variasi gaya tekan aksial .....        | 132 |
| Gambar 4.11 Grafik hubungan frekuensi alami <i>mode 3</i> kolom komposit CES dengan variasi gaya tekan aksial .....        | 132 |
| Gambar 4.12 Grafik hubungan frekuensi alami <i>mode 4</i> kolom komposit CES dengan variasi gaya tekan aksial .....        | 133 |
| Gambar 4.13 Grafik perbandingan frekuensi kolom <i>mode 1</i> .....  | 136 |
| Gambar 4.14 Grafik perbandingan frekuensi kolom <i>mode 2</i> .....  | 136 |
| Gambar 4.15 Grafik perbandingan frekuensi kolom <i>mode 3</i> .....  | 137 |
| Gambar 4.16 Grafik perbandingan frekuensi kolom <i>mode 4</i> .....  | 137 |
| Gambar 4.17 Grafik perbandingan frekuensi kolom <i>mode 1, 2, 3, dan 4</i> .....   | 138 |

## **DAFTAR LAMPIRAN**

|   |     |
|---|-----|
| Lampiran 1. Spesifikasi Struktur Gedung Kantor Sederhana dan Analisis Persyaratan Umum Gedung .....     | 145 |
| Lampiran 2. Analisis momen lentur balok baja profil WF berdasarkan SNI 1729:2020.....                   | 184 |
| Lampiran 3. Contoh Hasil Simulasi Numerik Kolom pada <i>Software ABAQUS</i> . 194                       |     |
| Lampiran 4. Contoh Perhitungan Analitik Frekuensi Alami Kolom Beton dengan Persamaan Stokey (1998)..... | 203 |

## DAFTAR SIMBOL DAN LAMBANG

| Simbol            | Dimensi               | Keterangan  |
|-------------------|-----------------------|---|
| A                 | [L <sup>2</sup> ]     | luas penampang  |
| A <sub>c</sub>    | [L <sup>2</sup> ]     | luas material beton   |
| A <sub>ch</sub>   | [L <sup>2</sup> ]     | luas penampang inti beton   |
| A <sub>g</sub>    | [L <sup>2</sup> ]     | luas total penampang komponen struktur komposit                                   |
| A <sub>s</sub>    | [L <sup>2</sup> ]     | luas penampang baja   |
| A <sub>s</sub>    | [L <sup>2</sup> ]     | luas penampang baja   |
| A <sub>sh</sub>   | [L <sup>2</sup> ]     | luas penampang total tulangan transversal   |
| A <sub>sr</sub>   | [L <sup>2</sup> ]     | luas batang tulangan menerus/longitudinal   |
| A <sub>sr</sub>   | [L <sup>2</sup> ]     | luas tulangan utama   |
| A <sub>w</sub>    | [L <sup>2</sup> ]     | luas badan  |
| b                 | [L]                   | lebar penampang kolom   |
| b <sub>c</sub>    | [L]                   | lebar penampang inti beton  |
| b <sub>f</sub>    | [L]                   | lebar flange  |
| c                 | [L]                   | jarak sumbu netral dengan permukaan beton atas                                    |
| c                 | -                     | koefisien c   |
| c                 | [L]                   | jarak dari serat tekan terjauh ke sumbu netral                                    |
| C <sub>1</sub>    | -                     | koefisien dalam perhitungan kekakuan efektif komponen struktur tekan komposit CES |
| C <sub>b</sub>    | -                     | faktor modifikasi tekuk torsi lateral   |
| C <sub>c</sub>    | [MLT <sup>-2</sup> ]  | gaya tekan pada beton   |
| c <sub>c</sub>    | [L]                   | selimut beton   |
| C <sub>s</sub>    | [MLT <sup>-2</sup> ]  | gaya tekan pada profil baja   |
| C <sub>v1</sub>   | -                     | koefisien kekuatan geser badan  |
| d                 | [L]                   | jarak dari serat tekan terjauh ke pusat tulangan tarik longitudinal               |
| d <sub>1</sub>    | [L]                   | jarak gaya tekan pada beton ke sumbu netral                                       |
| d <sub>2</sub>    | [L]                   | jarak gaya tekan pada profil baja ke sumbu netral                                 |
| d <sub>3</sub>    | [L]                   | jarak gaya tarik pada profil baja ke sumbu netral                                 |
| d <sub>4</sub>    | [L]                   | jarak gaya tarik pada tulangan baja 1 ke sumbu netral                             |
| d <sub>5</sub>    | [L]                   | jarak gaya tarik pada tulangan baja 2 ke sumbu netral                             |
| d <sub>b</sub>    | [L]                   | diameter tulangan utama   |
| d <sub>s</sub>    | [L]                   | diameter sengkang   |
| e                 | [L]                   | eksentrисitas   |
| E                 | [ML-2]                | modulus elastisitas   |
| E <sub>c</sub>    | [ML-1T-2]             | modulus elastisitas beton   |
| EI <sub>eff</sub> | [ML <sup>3</sup> T-2] | kekakuan efektif penampang komposit   |
| E <sub>s</sub>    | [ML-1T-2]             | modulus elastisitas baja  |
| f <sub>c</sub>    | [ML-1T-2]             | kuat tekan beton  |

|           |           |   |
|-----------|-----------|---|
| $f_n$     | [T-1]     | frekuensi alami   |
| $f_u$     | [ML-1T-2] | tegangan tekan ultimit baja   |
| $F_y$     | [ML-1T-2] | tegangan leleh minimum baja   |
| $f_y$     | [ML-1T-2] | tegangan leleh minimum baja   |
| $F_{ysr}$ | [ML-1T-2] | tegangan leleh minimum batang tulangan  |
| $g$       | [LT-2]    | gravitasi bumi  |
| $G$       | [ML-1T-2] | modulus geser   |
| $G$       | -         | faktor kekangan   |
| $h$       | [L]       | lebar bersih antara sayap-sayap   |
| $h$       | [L]       | tinggi penampang kolom  |
| $h$       | [L]       | tinggi web bersih   |
| $h_0$     | [L]       | jarak antara titik berat sayap  |
| $h_b$     | [L]       | tinggi penampang balok  |
| $h_c$     | [L]       | panjang penampang inti beton  |
| $h_w$     | [L]       | tinggi web  |
| $h_x$     | [L]       | panjang terbesar jarak tulangan longitudinal yang terkait sengkang                          |
| $I$       | [L4]      | momen inersia penampang balok   |
| $I$       | [L4]      | momen inersia   |
| $I_c$     | [L4]      | momen inersia penampang beton terhadap sumbu netral elastis penampang komposit              |
| $I_s$     | [L4]      | momen inersia profil baja terhadap sumbu netral elastis penampang komposit                  |
| $I_{sr}$  | [L4]      | momen inersia batang tulangan terhadap sumbu netral elastis penampang komposit              |
| $J$       | [L4]      | konstanta torsi   |
| $K$       | -         | faktor panjang efektif  |
| $k$       | [MT-2]    | kekakuan  |
| $k$       | -         | faktor panjang efektif  |
| $k_n$     | -         | parameter $k$ yang tergantung dengan perletakan balok                                       |
| $L$       | [L]       | panjang tanpa pembreisan lateral komponen struktur  |
| $l_o$     | [L]       | panjang zona sendi plastis  |
| $L_b$     | [L]       | panjang balok   |
| $L_b$     | [L]       | panjang jarak antara pengaku lateral  |
| $L_c$     | [L]       | panjang efektif komponen struktur   |
| $L_c$     | [L]       | tinggi kolom  |
| $l_n$     | [L]       | panjang kolom   |
| $L_p$     | [L]       | batas panjang tak terbreis secara lateral untuk kondisi batas leleh                         |
| $L_r$     | [L]       | batas panjang tak terbreis secara lateral untuk kondisi batas tekuk torsi-lateral inelastis |
| $m$       | [M]       | massa   |

|          |                |  |
|----------|----------------|--|
| $M_c$    | $[ML^2T^{-2}]$ | kekuatan lentur rencana dihitung berdasarkan prosedur dalam Bab F SNI 1729:2020  |
| $M_n$    | $[ML^2T^{-2}]$ | kekuatan lentur nominal  |
| $M_{nb}$ | $[ML^2T^{-2}]$ | kuat lentur nominal balok  |
| $M_{nc}$ | $[ML^2T^{-2}]$ | kuat lentur nominal kolom  |
| $M_o$    | $[ML^2T^{-2}]$ | kapasitas lentur kolom pada eksentrisitas tak hingga   |
| $M_p$    | $[ML^2T^{-2}]$ | momen lentur plastis   |
| $M_{pr}$ | $[ML^2T^{-2}]$ | kuat lentur kolom menganggap kuat tarik pada tulangan memanjang sebesar minimum $1,25fy$ dan faktor reduksi $\phi = 1$         |
| $M_r$    | $[ML^2T^{-2}]$ | kekuatan lentur perlu dihitung berdasarkan SNI 1729:2020 Bab C dengan kombinasi beban DFBT                                     |
| $n$      | -              | mode getar   |
| $N_u$    | $[MLT^{-2}]$   | gaya tekan terkecil dari hasil analisis struktur   |
| $P_c$    | $[MLT^{-2}]$   | kekuatan aksial rencana yang dihitung berdasarkan SNI 1729:2020 Bab E  |
| $P_e$    | $[MLT^{-2}]$   | beban tekuk kritis elastis yang ditentukan sesuai dengan SNI 1729:2020 Bab C atau Lampiran 7                                   |
| $P_n$    | $[MLT^{-2}]$   | kekuatan tekan nominal   |
| $P_{no}$ | $[MLT^{-2}]$   | kekuatan aksial tekan nominal, simetris ganda, pada komponen struktur komposit dengan panjang nol, yang dibebani secara aksial |
| $P_o$    | $[MLT^{-2}]$   | kapasitas tekan kolom yang dibebani secara konsentris  |
| $P_r$    | $[MLT^{-2}]$   | kekuatan aksial perlu yang dihitung berdasarkan SNI 1729:2020 Bab C, dengan kombinasi beban DFBT                               |
| $P_u$    | $[MLT^{-2}]$   | Kekuatan aksial tekan perlu dengan menggunakan kombinasi beban DFBT  |
| $r$      | $[L]$          | radius girasi  |
| $r$      | $[L]$          | <i>corner radius</i>   |
| $s$      | $[L]$          | spasi antar tulangan transversal   |
| $S$      | $[L^2]$        | luas penampang balok   |
| $S$      | $[L^3]$        | <i>section modulus</i>   |
| $t_f$    | $[L]$          | tebal flange   |
| $T_{r1}$ | $[MLT^{-2}]$   | gaya tarik pada tulangan baja 1  |
| $T_{r2}$ | $[MLT^{-2}]$   | gaya tarik pada tulangan baja 2  |
| $T_s$    | $[MLT^{-2}]$   | gaya tarik pada profil baja ke sumbu netral  |
| $t_w$    | $[L]$          | tebal badan  |
| $V_c$    | $[MLT^{-2}]$   | kapasitas geser kolom  |
| $V_n$    | $[MLT^{-2}]$   | kekuatan geser nominal   |
| $V_s$    | $[MLT^{-2}]$   | kekuatan geser nominal yang diberikan oleh penulangan geser  |
| $V_u$    | $[MLT^{-2}]$   | gaya geser terfaktor penampang   |

|                 |             |  |
|-----------------|-------------|--|
| $W$             | $[MT^{-2}]$ | berat profil baja  |
| $w_c$           | $[ML^{-3}]$ | berat volume beton   |
| $y_0$           | $[L]$       | jarak sumbu plastis  |
| $z$             | $[L]$       | jarak permukaan atas baja profil dengan permukaan atas beton |
| $Z$             | $[L^3]$     | <i>plastic modulus</i>                                       |
| $\beta$         | -           | faktor $\beta$   |
| $\gamma$        | $[ML^{-3}]$ | massa jenis material   |
| $\Delta_{izin}$ | $[L]$       | lendutan izin  |
| $\Delta_y$      | $[L]$       | lendutan maksimum hasil analisis struktur                    |
| $\lambda_f$     | -           | rasio lebar terhadap tebal sayap                             |
| $\lambda_{pf}$  | -           | batas parameter lebar terhadap tebal untuk sayap kompak      |
| $\lambda_{pw}$  | -           | batas parameter lebar terhadap tebal untuk badan kompak      |
| $\lambda_{rf}$  | -           | batas parameter lebar terhadap tebal untuk sayap nonkompak   |
| $\lambda_{rw}$  | -           | batas parameter lebar terhadap tebal untuk badan nonkompak   |
| $\lambda_w$     | -           | rasio lebar terhadap tebal badan                             |
| $\rho_{sr}$     | -           | rasio tulangan minimum untuk penulangan longitudinal         |
| $\phi$          | -           | faktor reduksi   |
| $\phi_b$        | -           | faktor reduksi untuk lentur                                  |
| $\phi_c$        | -           | faktor reduksi untuk tekan                                   |
| $\phi_v$        | -           | faktor ketahanan untuk geser                                 |

## **DAFTAR SINGKATAN**

- ACI : *American Concrete Institute*  
AISC : *American Institute of Steel Construction*  
AMS : *Automatic Multi-level Substructuring*  
ASTM : *American Society for Testing and Material*  
CAE : *Computer-Aided Engineering*  
CCFT : *Circular Concrete-Filled Tube*  
CES : *Concrete-Encased Steel*  
CRM : *Classic Rayleigh Method*  
CSA : *Canadian Standards Association*  
CSFT : *Concrete-Filled Steel Tube*  
DFBT : Desain Faktor Beban dan Ketahanan  
DXF : *Data Exchange File*  
EFDD : *Enhanced Frequency Domain Decomposition*  
FEM : *Finite Element Method*  
KGS1 : Kolom Garuda Steel 1  
KGS2 : Kolom Garuda Steel 2  
KGS3 : Kolom Garuda Steel 3  
KGS4 : Kolom Garuda Steel 4  
LTB : *Lateral Torsional Buckling*  
MPa : Mega Pascal  
MRM : *Modified Rayleigh Method*  
OK : *Operation Kamer*  
RCFT : *Rectangular Concrete-Filled Tube*  
RSUD : Rumah Sakit Unit Darurat  
SCWB : *Strong-Column Weak-Beam*  
SNI : Standar Nasional Indonesia  
SSI : *Stochastic Subspace Identification*  
WF : *Wide Flange*

## **DAFTAR ISTILAH**

1. *Concrete Damage Plasticity*

*Concrete damage plasticity* adalah pendekatan pemodelan komputasi yang digunakan untuk mensimulasikan perilaku beton dalam beban mekanis. Pendekatan ini memperhitungkan kerusakan progresif dan deformasi plastis yang terjadi pada struktur beton.

2. Faktor kekangan

Faktor kekangan untuk kolom merupakan parameter yang menggambarkan sejauh mana kolom terikat dalam mentransfer momen atau gaya lentur ke elemen struktural lainnya.

3. Interferensi gelombang

Interferensi gelombang adalah fenomena di mana dua atau lebih gelombang bertemu dan saling mempengaruhi, menghasilkan pola-pola konstruktif (penjumlahan amplitudo) atau destruktif (pembatalan amplitudo) dalam hasil kombinasi gelombang tersebut.

4. *Mode shapes*

*Mode shape* adalah pola getaran karakteristik yang terjadi pada suatu struktur saat merespons terhadap rangsangan frekuensi tertentu.

5. Resonansi

Resonansi adalah fenomena di mana suatu sistem atau objek secara maksimal merespons terhadap rangsangan eksternal dengan frekuensi yang sama atau mendekati frekuensi alami sistem tersebut.

6. Uji konvergensi

Uji konvergensi adalah proses atau metode untuk menguji kestabilan dan akurasi hasil perhitungan numerik dengan memvariasikan ukuran elemen atau parameter lainnya hingga hasil konvergen atau mendekati solusi yang tepat.